

京都大学工学部 正会員 倉田弘行

まえがき。土木構造物に作用する外力の多くは、時間的に不規則に変動し、またその波形を確定関数として表現することが困難である。地震力や風力などはその典型的な例であるが、これらが不規則外力に対する構造物の応答特性を把握し、その設計法を確立するためには、不規則振動論の立場から問題を取り扱い、構造物の非破壊確率を求めておくことがわめて重要となる。最大応答の確率分布は、最大応答量にある許容値を設定しようとする設計法においてはそのまま非破壊確率を表わす重要な確率量であるが、構造物の応答のような、各時刻間の応答の相間が高い連続過程では、厳密解を求めることがわめて困難で、従来のほとんどの研究ではこゝ相間を無視するという、最も単純な仮定がなされた。^{1)~4)}著者らは、このような点を改善し、応答間ににおける時間的相間の影響をも取り入れたより精度の高い近似解法を提案し、定常入力に対する定常解および過渡解について精度の検討を行なった。^{5)~7)}本報告では、この方法を、地震動を模擬する非定常確率過程入力に対する線形自由度系の応答解析に適用し、最大応答の確率分布の性状を検討し、さらに、この結果から平均応答スペクトルを求めて、従来の実地震応答に対する結果と比較検討する。

1. 不規則外力に対する最大応答の確率分布^{6), 7)}

対象とする応答量を $y(t)$ 、継続時間を τ 、 $0 \leq t \leq \tau$ における絶対最大応答を Y とする、 Y の確率分布 $\bar{\pi}(Y, \tau)$ は次式で表わされる。

$$\bar{\pi}(Y, \tau) = P[\max|y(t)| \leq Y; 0 \leq t \leq \tau] \quad \dots \quad (1)$$

出生過程の基礎微分方程式を解いた結果を式(1)に代入し、さらに応答の時間的相間について近似的評価を行なって、式(1)の近似式が次のように得られた。

$$\bar{\pi}(Y, \tau) \cong P[|y(0)| \leq Y] \exp\left\{-\int_0^\tau \bar{C}_0(Y, t) dt\right\} \quad \dots \quad (2)$$

$$\bar{C}_0(Y, t) = Q_1(Y, t) / Q_2(Y, t)$$

$$Q_1(Y, t) = \frac{\delta_y}{\delta_Y} \int_{-Y/\delta_y}^{Y/\delta_y} d\tilde{\xi}_1 \int_{-\tilde{\xi}_1/\delta_2}^{\tilde{\xi}_1/\delta_2} d\tilde{\xi}_2 \cdots \int_{-\tilde{\xi}_{r-1}/\delta_r}^{\tilde{\xi}_{r-1}/\delta_r} \left\{ \int_{-\infty}^0 |\dot{\xi}_t| \phi_m(\tilde{\xi}_1, \tilde{\xi}_2, \dots, \tilde{\xi}_r, -\frac{Y}{\delta_y}, \tilde{\xi}_t) d\tilde{\xi}_t \right. \\ \left. + \int_0^\infty \dot{\xi}_t \phi_m(\tilde{\xi}_1, \tilde{\xi}_2, \dots, \tilde{\xi}_r, \frac{Y}{\delta_y}, \tilde{\xi}_t) d\tilde{\xi}_t \right\} d\tilde{\xi}_r \quad \dots \quad (3)$$

$$Q_2(Y, t) = \int_{-Y/\delta_y}^{Y/\delta_y} d\tilde{\xi}_1 \int_{-\tilde{\xi}_1/\delta_2}^{\tilde{\xi}_1/\delta_2} d\tilde{\xi}_2 \cdots \int_{-\tilde{\xi}_{r-1}/\delta_r}^{\tilde{\xi}_{r-1}/\delta_r} d\tilde{\xi}_r \int_{-\tilde{\xi}_r/\delta_y}^{\tilde{\xi}_r/\delta_y} \phi_{2n}(\tilde{\xi}_1, \tilde{\xi}_2, \dots, \tilde{\xi}_r, \tilde{\xi}_t) d\tilde{\xi}_t \quad \dots \quad (4)$$

ただし、 $\tilde{\xi}_i = y(t_i)/\delta_y$, $\delta_i^2 = E[y^2(t_i)]$; ($i=1, 2, \dots, r(t)$), $\tilde{\xi}_t = y(t)/\delta_y$, $\delta_y^2 = E[y^2(t)]$, $\dot{\xi}_t = \dot{y}(t)/\delta_y$, $\delta_y^2 = E[\dot{y}^2(t)]$, t_i は $0 \leq t_i < t_2 < \dots < t_i < \dots < t_{r(t)} < t$ なる任意の時刻。また、 $\phi_m(\tilde{\xi}_1, \tilde{\xi}_2, \dots, \tilde{\xi}_r, \tilde{\xi}_t)$ および $\phi_{2n}(\tilde{\xi}_1, \tilde{\xi}_2, \dots, \tilde{\xi}_r, \tilde{\xi}_t)$ はそれぞれ複数の同時確率密度関数である。

$y(t)$ が正規分布をなす場合には、式(3), (4) の積分回数を 1 回減らすことができる。

2. 地震動の表現

$g(t)$ を平均値ゼロで分散 β^2 なる正規定常確率過程, $f(t, \tau)$ を最大値 1 なる正の確定関数, ρ を加速度の次元を有する定数とし, 地震加速度 $\ddot{z}(t)$ を次式で表わす。

$$\ddot{z}(t) = \beta f(t, \tau) g(t) \quad \dots \dots \dots (5)$$

$f(t, \tau)$ としては, $\rho - \tau$ 後は指数関数的に減少する³⁾次のような形を用いる。

$$f(t, \tau) = \frac{(1+\xi)^{(1+1/\xi)}}{\xi} e^{-\rho t} (1 - e^{-\xi \rho t}) \quad \dots \dots \dots (6)$$

また, $g(t)$ のパワースペクトル密度 $S_g(\omega)$ には次のような関数形を採用する。

$$S_g(\omega) = \frac{4h_0}{\pi \omega_0} \frac{(\omega_0)^2}{\{1 - (\frac{\omega}{\omega_0})^2 + 4h_0^2(\frac{\omega}{\omega_0})^2\}} ; \omega_0 = \frac{2\pi}{T_0}, T_0: \text{卓越周期} \quad \dots \dots \dots (7)$$

式(6)では継続時間 τ について明確な定義ができないが, 式(5)で表わされた地動が, 分散 β^2 なら定常確率過程から時間 τ の部分を切出したものと最大加速度の期待値を等しくする場合, ここでを $\dot{z}(t)$ の継続時間と定めると, 近似的に次式が得られる。

$$S/\omega_0 = C(\tau/T_0)^{-1.09} \quad \dots \dots \dots (8)$$

C はその大きさによって表一のようないくつかの値をとる。ただし, 同表中で t_m は $\dot{z}(t, \tau)$ が最大値 1 をとる時刻で, 次式により与えられる。

$$t_m = \frac{1}{5\xi} \log(1+\xi) \quad \dots \dots \dots (9)$$

st_m	ξ	C
1.0	0.0	0.166
0.8	0.539	0.136
0.6	1.579	0.108
0.4	4.047	0.077
0.2	13.30	0.050

表-1 地震動のパラメータ

またこの場合の最大加速度の期待値を図-1 に示した。

3. 線形 / 自由度系の応答

線形 / 自由度系で表わされた構造物が $t=0$ で静止状態にあり, これに地震加速度 $\ddot{z}(t)$ が作用した場合の相対変位応答 $y(t)$ は周知のように次式で与えられる。

$$y(t) = -\frac{1}{\bar{\omega}_n} \int_0^t e^{-\rho_n \bar{\omega}_n(t-\tau)} \sin \bar{\omega}_n(t-\tau) \ddot{z}(\tau) d\tau \quad \dots \dots \dots (10)$$

ただし, ω_n : 固有円振動数, ρ_n : 減衰定数, $\bar{\omega}_n = \sqrt{1 - \rho_n^2} \omega_n$

前節2.で設定した地震動式(10)に用いよると, $y(t), \dot{y}(t)$ の分散 $\delta_y^2(t), \delta_{\dot{y}}^2(t)$, および $y(t) \times \dot{y}(t), y(t_1) \times y(t_2), y(t_1) \times \dot{y}(t_2)$ の相關係数 $P_{yy}(t), P_{yy}(t_1, t_2), P_{yy}(t_1, t_2)$ がそれぞれ次式のようになる。

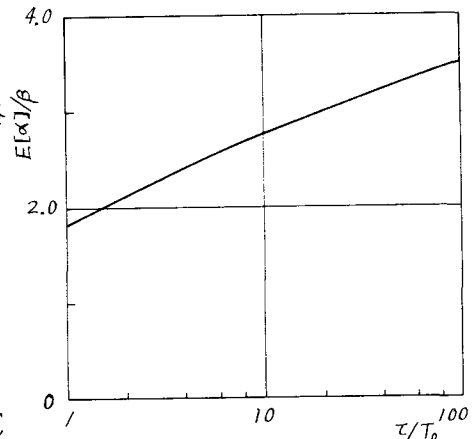


図-1 最大地震加速度の期待値

$$\delta_y^2(t) = \frac{\beta^2 A^2}{\omega_n^2 \xi^2} \int_0^\infty S_g(\omega) \left\{ \frac{J_1(t, t, \omega, s)}{B(\omega, s)} + \frac{J_1(t, t, \omega, (1+\xi)s)}{B(\omega, (1+\xi)s)} - \frac{H_1(t, t, \omega, s, \xi)}{B(\omega, s)B(\omega, (1+\xi)s)} \right\} d\omega \quad \dots \dots \dots (11)$$

$$\delta_{\dot{y}}^2(t) = \frac{\beta^2 A^2}{\omega_n^2} \int_0^\infty S_g(\omega) \left[\frac{1}{B(\omega, s)} \left\{ J_2(t, t, \omega, s) - 2 \frac{\rho_n}{\xi} J_3(t, t, \omega, s) + \frac{\rho_n^2}{\xi^2} J_1(t, t, \omega, s) \right\} \right] d\omega$$

$$+\frac{1}{B(\omega, (1+\xi)s)} \left\{ J_2(t, t, \omega, (1+\xi)s) - 2 \frac{\zeta^2}{\zeta} J_3(t, t, \omega, (1+\xi)s) + \frac{\zeta^2}{\zeta} J_1(t, t, \omega, (1+\xi)s) \right\} \\ - \frac{1}{B(\omega, s) B(\omega, (1+\xi)s)} \left\{ H_2(t, t, \omega, s, \xi) - 2 \frac{\zeta^2}{\zeta} H_3(t, t, \omega, s, \xi) + \frac{\zeta^2}{\zeta} H_1(t, t, \omega, s, \xi) \right\} \right] d\xi \quad (12)$$

$$\rho_{yy}(t) = \frac{\rho^2 A^2}{\omega_n^2 \zeta \tilde{\epsilon}_y(t) \tilde{\epsilon}_y(t)} \int_0^\infty \tilde{\epsilon}_y(\omega) \left[\frac{1}{B(\omega, s)} \left\{ J_3(t, t, \omega, s) - \frac{\zeta^2}{\zeta} J_1(t, t, \omega, s) \right\} \right. \\ \left. + \frac{1}{B(\omega, (1+\xi)s)} \left\{ J_3(t, t, \omega, (1+\xi)s) - \frac{\zeta^2}{\zeta} J_1(t, t, \omega, (1+\xi)s) \right\} - \frac{1}{B(\omega, s) B(\omega, (1+\xi)s)} \left\{ H_3(t, t, \omega, s, \xi) - \frac{\zeta^2}{\zeta} H_1(t, t, \omega, s, \xi) \right\} \right] d\omega \quad (13)$$

$$\rho_{yy}(t, t_1) = \frac{\rho^2 A^2}{\omega_n^2 \zeta^2 \tilde{\epsilon}_y(t) \tilde{\epsilon}_y(t_1)} \int_0^\infty \tilde{\epsilon}_y(\omega) \left[\cos \omega(t_2 - t_1) \left\{ \frac{J_1(t, t_1, \omega, s)}{B(\omega, s)} + \frac{J_1(t, t_2, \omega, (1+\xi)s)}{B(\omega, s)} - \frac{H_1(t, t_1, \omega, s, \xi)}{B(\omega, s) B(\omega, (1+\xi)s)} \right\} \right. \\ \left. + \sin \omega(t_2 - t_1) \left\{ \frac{J_4(t, t_1, \omega, s)}{B(\omega, s)} + \frac{J_4(t, t_2, \omega, (1+\xi)s)}{B(\omega, s)} - \frac{H_4(t, t_1, \omega, s, \xi)}{B(\omega, s) B(\omega, (1+\xi)s)} \right\} \right] d\omega \quad (14)$$

$$\rho_{yy}(t, t_2) = \frac{\rho^2 A^2}{\omega_n^2 \zeta^2 \tilde{\epsilon}_y(t) \tilde{\epsilon}_y(t_2)} \int_0^\infty \tilde{\epsilon}_y(\omega) \left[\cos \omega(t_2 - t_1) \left\{ \frac{1}{B(\omega, s)} (J_3(t, t_1, \omega, s) - \frac{\zeta^2}{\zeta} J_1(t, t_1, \omega, s)) \right. \right. \\ \left. + \frac{1}{B(\omega, (1+\xi)s)} (J_3(t, t_1, \omega, (1+\xi)s) - \frac{\zeta^2}{\zeta} J_1(t, t_1, \omega, (1+\xi)s)) - \frac{1}{B(\omega, s) B(\omega, (1+\xi)s)} (H_3(t, t_1, \omega, s, \xi) - \frac{\zeta^2}{\zeta} H_1(t, t_1, \omega, s, \xi)) \right\} \\ \left. + \sin \omega(t_2 - t_1) \left\{ \frac{1}{B(\omega, s)} (J_5(t, t_1, \omega, s) - \frac{\zeta^2}{\zeta} J_4(t, t_1, \omega, s)) + \frac{1}{B(\omega, (1+\xi)s)} (J_5(t, t_1, \omega, (1+\xi)s) - \frac{\zeta^2}{\zeta} J_4(t, t_1, \omega, (1+\xi)s)) \right. \right. \\ \left. \left. - \frac{1}{B(\omega, s) B(\omega, (1+\xi)s)} (H_5(t, t_1, \omega, s, \xi) - \frac{\zeta^2}{\zeta} H_4(t, t_1, \omega, s, \xi)) \right\} \right] d\omega \quad (15)$$

$$A = \frac{(1+\xi)^{(1+1/\xi)}}{\xi}, \quad \zeta = \sqrt{1 - \frac{\zeta^2}{\omega_m^2}}, \quad B(\omega, s) = \left\{ \left(\frac{\omega}{\omega_m} \right)^2 - (\zeta^2 - \lambda^2(s)) \right\}^2 + 4\zeta^2 \lambda^2(s), \quad \lambda(s) = \zeta \omega - \frac{\zeta}{\omega_m}$$

$$J_1(t, t_1, \omega, s) = \zeta^2 \left[e^{-s(t+t_1)} - e^{-(\zeta \omega_m t_1 + s t_1)} \left\{ (\cos \bar{\omega}_m t_2 + \frac{\lambda(s)}{\zeta} \sin \bar{\omega}_m t_2) \cos \omega t_2 + \frac{1}{3} \frac{\omega}{\omega_m} \sin \bar{\omega}_m t_2 \sin \omega t_2 \right\} \right. \\ \left. - e^{-(\zeta \omega_m t_1 + s t_2)} \left\{ (\cos \bar{\omega}_m t_1 + \frac{\lambda(s)}{\zeta} \sin \bar{\omega}_m t_1) \cos \omega t_1 + \frac{1}{3} \frac{\omega}{\omega_m} \sin \bar{\omega}_m t_1 \sin \omega t_1 \right\} \right. \\ \left. + e^{-\zeta \omega_m (t_2 + t_1)} \left\{ [\cos \bar{\omega}_m t_2 \cos \bar{\omega}_m t_1 + \frac{1}{3^2} \left(\left(\frac{\omega}{\omega_m} \right)^2 + \lambda^2(s) \right) \sin \bar{\omega}_m t_2 \sin \bar{\omega}_m t_1 + \frac{\lambda(s)}{\zeta} \sin \bar{\omega}_m (t_2 + t_1)] \cos \omega (t_2 - t_1) \right. \right. \\ \left. \left. + \frac{1}{3} \frac{\omega}{\omega_m} \sin \bar{\omega}_m (t_2 - t_1) \sin \omega (t_2 - t_1) \right\} \right]$$

$$J_2(t, t_1, \omega, s) = \zeta^2 \left[\frac{1}{3^2} \left(\left(\frac{\omega}{\omega_m} \right)^2 + \lambda^2(s) \right) e^{-s(t+t_1)} - e^{-(\zeta \omega_m t_1 + s t_1)} \left\{ \left(\frac{1}{3^2} \left(\left(\frac{\omega}{\omega_m} \right)^2 + \lambda^2(s) \right) \cos \bar{\omega}_m t_2 - \frac{\lambda(s)}{\zeta} \sin \bar{\omega}_m t_2 \right) \cos \omega t_2 + \frac{1}{3} \frac{\omega}{\omega_m} \sin \bar{\omega}_m t_2 \sin \omega t_2 \right\} \right. \\ \left. + \frac{1}{3} \frac{\omega}{\omega_m} \sin \bar{\omega}_m t_2 \sin \omega t_2 \right\} - e^{-(\zeta \omega_m t_1 + s t_2)} \left\{ \left(\frac{1}{3^2} \left(\left(\frac{\omega}{\omega_m} \right)^2 + \lambda^2(s) \right) \cos \bar{\omega}_m t_1 - \frac{\lambda(s)}{\zeta} \sin \bar{\omega}_m t_1 \right) \cos \omega t_1 + \frac{1}{3} \frac{\omega}{\omega_m} \sin \bar{\omega}_m t_1 \sin \omega t_1 \right\} \\ \left. + e^{-\zeta \omega_m (t_2 + t_1)} \left\{ \left[\frac{1}{3^2} \left(\left(\frac{\omega}{\omega_m} \right)^2 + \lambda^2(s) \right) \cos \bar{\omega}_m (t_2 + t_1) + \frac{1}{3^2} \left(\left(\frac{\omega}{\omega_m} \right)^2 + \lambda^2(s) \right) \cos \bar{\omega}_m t_2 \sin \bar{\omega}_m t_1 - \sin \bar{\omega}_m t_2 \cos \bar{\omega}_m t_1 \right] \cos \omega (t_2 - t_1) \right. \right. \\ \left. \left. + \frac{1}{3} \frac{\omega}{\omega_m} \sin \bar{\omega}_m (t_2 - t_1) \sin \omega (t_2 - t_1) \right\} \right]$$

$$J_3(t, t_1, \omega, s) = \zeta^2 \left[\frac{\lambda(s)}{\zeta} e^{-s(t+t_1)} - e^{-(\zeta \omega_m t_1 + s t_1)} \left\{ \left(\frac{\lambda(s)}{\zeta} \cos \bar{\omega}_m t_2 - \sin \bar{\omega}_m t_2 \right) \cos \omega t_2 + \frac{1}{3} \frac{\omega}{\omega_m} \cos \bar{\omega}_m t_2 \sin \omega t_2 \right\} \right. \\ \left. - e^{-(\zeta \omega_m t_1 + s t_2)} \left\{ \left(\frac{\lambda(s)}{\zeta} \cos \bar{\omega}_m t_1 + \frac{1}{3^2} \left(\left(\frac{\omega}{\omega_m} \right)^2 + \lambda^2(s) \right) \sin \bar{\omega}_m t_1 \right) \cos \omega t_1 - \frac{1}{3} \frac{\omega}{\omega_m} \cos \bar{\omega}_m t_1 \sin \omega t_1 \right\} \right. \\ \left. + e^{-\zeta \omega_m (t_2 + t_1)} \left\{ \left[\frac{\lambda(s)}{\zeta} \cos \bar{\omega}_m (t_2 + t_1) + \frac{1}{3^2} \left(\left(\frac{\omega}{\omega_m} \right)^2 + \lambda^2(s) \right) \cos \bar{\omega}_m t_2 \sin \bar{\omega}_m t_1 - \sin \bar{\omega}_m t_2 \cos \bar{\omega}_m t_1 \right] \cos \omega (t_2 - t_1) \right. \right. \\ \left. \left. + \frac{1}{3} \frac{\omega}{\omega_m} \cos \bar{\omega}_m (t_2 - t_1) \sin \omega (t_2 - t_1) \right\} \right]$$

$$J_4(t, t_1, \omega, s) = \zeta^2 \left[e^{-(\zeta \omega_m t_1 + s t_1)} \left\{ \frac{1}{3} \frac{\omega}{\omega_m} \sin \bar{\omega}_m t_2 \cos \omega t_2 - (\cos \bar{\omega}_m t_2 + \frac{\lambda(s)}{\zeta} \sin \bar{\omega}_m t_2) \sin \omega t_2 \right\} \right. \\ \left. - e^{-(\zeta \omega_m t_1 + s t_2)} \left\{ \frac{1}{3} \frac{\omega}{\omega_m} \sin \bar{\omega}_m t_1 \cos \omega t_1 - (\cos \bar{\omega}_m t_1 + \frac{\lambda(s)}{\zeta} \sin \bar{\omega}_m t_1) \sin \omega t_1 \right\} \right. \\ \left. + e^{-\zeta \omega_m (t_2 + t_1)} \left\{ \left[-\frac{1}{3} \frac{\omega}{\omega_m} \sin \bar{\omega}_m (t_2 + t_1) \cos \omega (t_2 - t_1) \right. \right. \right. \\ \left. \left. \left. + [\cos \bar{\omega}_m t_2 \cos \bar{\omega}_m t_1 + \frac{1}{3^2} \left(\left(\frac{\omega}{\omega_m} \right)^2 + \lambda^2(s) \right) \sin \bar{\omega}_m t_2 \sin \bar{\omega}_m t_1 + \frac{\lambda(s)}{\zeta} \sin \bar{\omega}_m (t_2 + t_1)] \sin \omega (t_2 - t_1) \right\} \right]$$

$$\begin{aligned}
J_x(t_1, t_2, \omega, s) = & -\zeta^2 \left[\frac{1}{3} \frac{\omega}{\omega_n} e^{-s(t_1+t_2)} - e^{-(t_1\omega_n t_2 + s t_2)} \left\{ \frac{1}{3} \frac{\omega}{\omega_n} \cos \bar{\omega}_n t_2 \cos \omega t_2 - \left(\frac{\Lambda(s)}{3} \cos \bar{\omega}_n t_2 - \sin \bar{\omega}_n t_2 \right) \sin \omega t_2 \right\} \right. \\
& - e^{-(t_1\omega_n t_1 + s t_2)} \left\{ \frac{1}{3} \frac{\omega}{\omega_n} \cos \bar{\omega}_n t_1 \cos \omega t_1 + \left(\frac{\Lambda(s)}{3} \cos \bar{\omega}_n t_1 + \frac{1}{3^2} \left(\left(\frac{\omega}{\omega_n} \right)^2 + \lambda^2(s) \right) \sin \bar{\omega}_n t_1 \right) \sin \omega t_1 \right\} \\
& \left. + e^{-t_1\omega_n(t_2+t_1)} \left\{ \frac{1}{3} \frac{\omega}{\omega_n} \cos \bar{\omega}_n(t_2-t_1) \cos \omega(t_2-t_1) \right. \right. \\
& \left. \left. - \left[\frac{\Lambda(s)}{3} \cos \bar{\omega}_n(t_2+t_1) + \frac{1}{3^2} \left(\left(\frac{\omega}{\omega_n} \right)^2 + \lambda^2(s) \right) \cos \bar{\omega}_n t_2 \sin \bar{\omega}_n t_1 - \sin \bar{\omega}_n t_2 \cos \bar{\omega}_n t_1 \right] \sin \omega(t_2-t_1) \right\} \right]
\end{aligned}$$

$$\begin{aligned}
H_1(t_1, t_2, \omega, s, \xi) = & I_1(t_1, \omega, s) I_1(t_2, \omega, (1+\xi)s) + I_1(t_1, \omega, (1+\xi)s) I_1(t_2, \omega, s) + I_3(t_1, \omega, s) I_3(t_2, \omega, (1+\xi)s) + I_3(t_2, \omega, (1+\xi)s) I_3(t_1, \omega, s) \\
H_2(t_1, t_2, \omega, s, \xi) = & I_2(t_1, \omega, s) I_2(t_2, \omega, (1+\xi)s) + I_2(t_1, \omega, (1+\xi)s) I_2(t_2, \omega, s) + I_4(t_1, \omega, s) I_4(t_2, \omega, (1+\xi)s) + I_4(t_2, \omega, (1+\xi)s) I_4(t_1, \omega, s) \\
H_3(t_1, t_2, \omega, s, \xi) = & I_4(t_1, \omega, s) I_4(t_2, \omega, (1+\xi)s) + I_4(t_1, \omega, (1+\xi)s) I_4(t_2, \omega, s) + I_2(t_1, \omega, s) I_3(t_2, \omega, (1+\xi)s) + I_2(t_2, \omega, (1+\xi)s) I_3(t_1, \omega, s) \\
H_4(t_1, t_2, \omega, s, \xi) = & I_3(t_1, \omega, s) I_3(t_2, \omega, (1+\xi)s) + I_3(t_2, \omega, (1+\xi)s) I_3(t_1, \omega, s) - I_1(t_1, \omega, s) I_3(t_2, \omega, (1+\xi)s) - I_1(t_2, \omega, (1+\xi)s) I_3(t_1, \omega, s) \\
H_5(t_1, t_2, \omega, s, \xi) = & I_2(t_1, \omega, s) I_1(t_2, \omega, (1+\xi)s) + I_2(t_2, \omega, (1+\xi)s) I_1(t_1, \omega, s) - I_4(t_1, \omega, s) I_2(t_2, \omega, (1+\xi)s) - I_4(t_2, \omega, (1+\xi)s) I_2(t_1, \omega, s) \\
I_1(t, \omega, s) = & \gamma_1(\omega, s) e^{-st} - e^{-t\omega_n t} \left\{ (\gamma_1(\omega, s) \cos \bar{\omega}_n t + \gamma_2(\omega, s) \sin \bar{\omega}_n t) \cos \omega t - (\gamma_3(\omega, s) \cos \bar{\omega}_n t - \gamma_4(\omega, s) \sin \bar{\omega}_n t) \sin \omega t \right\} \\
I_2(t, \omega, s) = & -\gamma_4(\omega, s) e^{-st} + e^{-t\omega_n t} \left\{ (\gamma_4(\omega, s) \cos \bar{\omega}_n t + \gamma_3(\omega, s) \sin \bar{\omega}_n t) \cos \omega t - (\gamma_2(\omega, s) \cos \bar{\omega}_n t - \gamma_1(\omega, s) \sin \bar{\omega}_n t) \sin \omega t \right\} \\
I_3(t, \omega, s) = & \gamma_3(\omega, s) e^{-st} - e^{-t\omega_n t} \left\{ (\gamma_3(\omega, s) \cos \bar{\omega}_n t - \gamma_4(\omega, s) \sin \bar{\omega}_n t) \cos \omega t + (\gamma_1(\omega, s) \cos \bar{\omega}_n t + \gamma_2(\omega, s) \sin \bar{\omega}_n t) \sin \omega t \right\} \\
I_4(t, \omega, s) = & \gamma_2(\omega, s) e^{-st} - e^{-t\omega_n t} \left\{ (\gamma_2(\omega, s) \cos \bar{\omega}_n t - \gamma_1(\omega, s) \sin \bar{\omega}_n t) \cos \omega t + (\gamma_4(\omega, s) \cos \bar{\omega}_n t + \gamma_3(\omega, s) \sin \bar{\omega}_n t) \sin \omega t \right\}
\end{aligned}$$

$$\gamma_1(\omega, s) = 5 \left\{ \zeta^2 + \lambda^2(s) - \left(\frac{\omega}{\omega_n} \right)^2 \right\}, \quad \gamma_2(\omega, s) = \lambda(s) \left\{ \zeta^2 + \lambda^2(s) + \left(\frac{\omega}{\omega_n} \right)^2 \right\}, \quad \gamma_3(\omega, s) = 2\zeta \lambda(s) \frac{\omega}{\omega_n}, \quad \gamma_4(\omega, s) = \frac{\omega}{\omega_n} \left\{ \zeta^2 \lambda^2 - \left(\frac{\omega}{\omega_n} \right)^2 \right\}$$

式(11)～(15)から得られる応答の分散および相関係数を式(2)～(4)に用ひるべく(=より、最大応答の確率分布歪(Y, T)を近似的に求めることができる)。その場合の近似の精度は γ_{in} , T, 式(3), (4)の T_i , ($i = 1, 2, \dots, r$) の選び方などに影響される。)

4. 平均応答スペクトル

以上のようにして最大応答の確分布が求まると、これを用いて最大応答の平均値 $E[Y]$ を算出できる。これを振動系の固有周期 T_n 及び減衰定数 γ_{in} についてプロットすれば、式(5)のような地震入力に対する構造物の応答スペクトル S_D を、確率統計的手法により求めたことになる。すなわち、

$$S_p(T_n, \gamma_{in}) = E[Y] = \int_0^\infty \{1 - \text{歪}(Y, T)\} dY \quad (16)$$

以上のようにして最大応答の確分布が求まると、その平均値 ($S_D(T_n, \gamma_{in})$) とばらつき ($\text{歪}(Y, T)$) の面倒から評価することも可能となる。数値計算の結果は講演時に報告する。

終りに、終始御指導を頂いた後藤尚男教授に深謝の意を表す。

-
- 1) Auengport: Proc. ICE, Vol. 19, 1961.
 - 2) 小松: 土木学会論文集, 142号, 昭42.
 - 3) Freudenthal & Shinohara: 土木学会論文集, 118号, 昭40.
 - 4) 山田・竹宮: 土木学会論文報告集, 172号, 昭44.
 - 5) 後藤・龜田: 土木学会論文集, 159号, 昭43.
 - 6) 後藤・龜田: 京大防災研年報, 11号A, 昭43.
 - 7) 後藤・龜田: 京大防災研年報, 12号A, 昭44.